

Radiação de Dipolo Elétrico

(VERSÃO PRELIMINAR)

a c tort*

Instituto de Física

Universidade Federal do Rio de Janeiro

Caixa Postal 68.528; CEP 21941-972 Rio de Janeiro, Brazil

4 de Junho de 2014

*e-mail: tort@ufrj.br.

Conteúdo

1	Os potenciais escalar e vetorial	3
1.1	As equações de movimento para V e A	4
1.2	Transformações de calibre	5
1.3	Solução das equações de onda para V e A	6
2	O potencial vetorial para o dipolo elétrico	6
3	O potencial escalar do dipolo elétrico	8
4	Os campos E e B de um dipolo elétrico oscilante	9
4.1	O campo indução magnética do dipolo	9
4.2	O campo elétrico do dipolo	11
5	O vetor de Poynting e a potência instantânea	12
6	A potência média	14
7	Aplicação ao espalhamento Rayleigh	16
7.1	Seções de choque diferencial e total	16
7.2	A seção de choque de Thomson para o elétron livre	16
7.3	A seção de choque de Thomson para o elétron ligado	19
	Problemas	20

1 Os potenciais escalar e vetorial

Suponha que em uma região do espaço tenhamos uma distribuição localizada de cargas e correntes descritas, respectivamente, por uma densidade de carga $\rho(\mathbf{x}, t)$, e uma densidade de corrente $\mathbf{J}(\mathbf{x}, t)$, onde \mathbf{x} marca a posição de um ponto arbitrário P em relação à origem O , e t é o tempo. Observe que \mathbf{x} pode indicar um ponto dentro ou fora da distribuição. As equações de Maxwell para os campos elétrico $\mathbf{E}(\mathbf{x}, t)$ e magnético $\mathbf{B}(\mathbf{x}, t)$ se escrevem:

$$\nabla \cdot \mathbf{E} = \frac{\rho}{\epsilon_0}; \quad (1)$$

$$\nabla \cdot \mathbf{B} = 0; \quad (2)$$

$$\nabla \times \mathbf{E} = -\frac{\partial \mathbf{B}}{\partial t}; \quad (3)$$

$$\nabla \times \mathbf{B} = \mu_0 \mathbf{J} + \mu_0 \epsilon_0 \frac{\partial \mathbf{E}}{\partial t}. \quad (4)$$

Como para um campo vetorial \mathbf{V} com derivadas parciais de primeira e segunda ordem bem definidas, a divergência do seu rotacional é sempre nula, isto é: $\nabla \cdot (\nabla \times \mathbf{V}) = 0$, vemos que a Eq. (2) permite escrever:

$$\mathbf{B} = \nabla \times \mathbf{A}, \quad (5)$$

onde $\mathbf{A}(\mathbf{x}, t)$ é o **potencial vetorial**. Substituindo este resultado na Eq. (3) e rearranjando segue que:

$$\nabla \times \left(\mathbf{E} + \frac{\partial \mathbf{A}}{\partial t} \right) = 0. \quad (6)$$

Como o rotacional de um gradiente de uma função escalar $V(\mathbf{x}, t)$ suficientemente bem comportada para os nossos propósitos é nulo, podemos escrever:

$$\mathbf{E} + \frac{\partial \mathbf{A}}{\partial t} = -\nabla V, \quad (7)$$

ou ainda:

$$\mathbf{E} = -\nabla V - \frac{\partial \mathbf{A}}{\partial t}. \quad (8)$$

Portanto, se pudermos de algum modo determinar os campos auxiliares $V(\mathbf{x}, t)$ e $\mathbf{A}(\mathbf{x}, t)$, os campos físicos observáveis $\mathbf{E}(\mathbf{x}, t)$ e $\mathbf{B}(\mathbf{x}, t)$ podem ser obtidos das Eqs. (8) e (5).

1.1 As equações de movimento para V e \mathbf{A}

Da lei de Ampère-Maxwell, Eq. (4), temos:

$$\nabla \times (\nabla \times \mathbf{A}) = \mu_0 \mathbf{J} + \mu_0 \epsilon_0 \frac{\partial}{\partial t} \left(\nabla V - \frac{\partial \mathbf{A}}{\partial t} \right). \quad (9)$$

Usando a identidade vetorial:

$$\nabla \times (\nabla \times \mathbf{A}) = -\nabla^2 \mathbf{A} + \nabla(\nabla \cdot \mathbf{A}),$$

podemos rescrever a Eq. (9) como:

$$-\nabla^2 \mathbf{A} + \mu_0 \epsilon_0 \frac{\partial^2 \mathbf{A}}{\partial t^2} + \nabla \left(\nabla \cdot \mathbf{A} + \mu_0 \epsilon_0 \frac{\partial V}{\partial t} \right) = \mu_0 \mathbf{J}. \quad (10)$$

Esta é a equação de movimento para o potencial vetorial $\mathbf{A}(\mathbf{x}, t)$.

Da lei de Gauss, Eq. (1), temos:

$$\nabla \cdot \left(-\nabla V - \frac{\partial \mathbf{A}}{\partial t} \right) = \frac{\rho}{\epsilon_0}, \quad (11)$$

ou ainda:

$$\nabla^2 V + \frac{\partial}{\partial t} (\nabla \cdot \mathbf{A}) = -\frac{\rho}{\epsilon_0}. \quad (12)$$

As Eqs. (10) e (12) estão acopladas, mas podemos desacoplá-las impondo a *condição de Lorenz*:

$$\nabla \cdot \mathbf{A} + \mu_0 \epsilon_0 \frac{\partial V}{\partial t} = 0. \quad (13)$$

Se a condição de Lorenz for satisfeita as Eqs. (10) e (12) ficam mais simples, embora ainda inhomogêneas:

$$\nabla^2 \mathbf{A} - \mu_0 \epsilon_0 \frac{\partial^2 \mathbf{A}}{\partial t^2} = -\mu_0 \mathbf{J}, \quad (14)$$

$$\nabla^2 V - \mu_0 \epsilon_0 \frac{\partial^2 V}{\partial t^2} = -\frac{\rho}{\epsilon_0}. \quad (15)$$

O produto das constantes materiais μ_0 e ϵ_0 tem as dimensões de inverso de velocidade ao quadrado, isto é:

$$\mu_0 \epsilon_0 = \frac{1}{c^2}. \quad (16)$$

Substituindo os valores S.I. dessas constantes obtemos $c \approx 3,0 \times 10^8$ m/s.

1.2 Transformações de calibre

É sempre possível encontrar potenciais V e \mathbf{A} tais que a condição de Lorenz seja satisfeita. Este fato matemático recebe o nome de **liberdade de calibre**. De fato, suponha que $\mathbf{A}(\mathbf{x}, t)$ não satisfaça à condição de Lorenz. Então, como:

$$\nabla \times (\nabla \Lambda(\mathbf{x}, t)) = 0,$$

onde $\Lambda(\mathbf{x}, t)$ é uma função escalar suficientemente bem comportada para os nossos propósitos, podemos fazer a substituição:

$$\mathbf{A}(\mathbf{x}, t) \rightarrow \mathbf{A}'(\mathbf{x}, t) = \mathbf{A}(\mathbf{x}, t) + \nabla \Lambda(\mathbf{x}, t). \quad (17)$$

Neste caso, o campo magnético \mathbf{B} permanece invariável:

$$\mathbf{B}(\mathbf{x}, t) = \mathbf{B}'(\mathbf{x}, t). \quad (18)$$

O que acontece com o campo elétrico se efetuarmos a transformação dada pela Eq. (17)? Substituindo a Eq. (17) na Eq. (8), obtemos:

$$\mathbf{E}(\mathbf{x}, t) \rightarrow \mathbf{E}'(\mathbf{x}, t) = \mathbf{E}(\mathbf{x}, t) - \nabla \left(\frac{\partial \Lambda(\mathbf{x}, t)}{\partial t} \right). \quad (19)$$

Portanto, ao contrário do campo magnético, o campo elétrico é sensível à transformação definida pela Eq. (17). Para que o campo elétrico tenha o mesmo comportamento que o campo magnético frente à transformação de calibre é preciso efetuar, *simultaneamente*, a transformação:

$$V(\mathbf{x}, t) \rightarrow V'(\mathbf{x}, t) = V(\mathbf{x}, t) - \frac{\partial \Lambda(\mathbf{x}, t)}{\partial t}, \quad (20)$$

pois neste caso teremos

$$\mathbf{E}(\mathbf{x}, t) = \mathbf{E}'(\mathbf{x}, t). \quad (21)$$

Como mencionado acima, os novos potenciais devem satisfazer à condição de Lorenz, isto é:

$$\nabla \cdot \mathbf{A}' + \mu_0 \epsilon_0 \frac{\partial V'}{\partial t} = 0. \quad (22)$$

Fazendo uso das Eqs. (17) e (20), obtemos:

$$\nabla^2 \Lambda - \frac{1}{c^2} \frac{\partial^2 \Lambda}{\partial t^2} = - \left(\nabla \cdot \mathbf{A} + \mu_0 \epsilon_0 \frac{\partial V}{\partial t} \right), \quad (23)$$

que permite, em princípio, determinar a função escalar $\Lambda(\mathbf{x}, t)$, se impusermos a esta equação as condições de contorno adequadas.

1.3 Solução das equações de onda para V e \mathbf{A}

Se a condição de Lorenz for satisfeita, os potenciais escalar e vetorial obedecem às equações de movimento:

$$\nabla^2 V - \frac{1}{c^2} \frac{\partial^2 V}{\partial t^2} = -\frac{\rho}{\epsilon_0}, \quad (24)$$

e,

$$\nabla^2 \mathbf{A} - \frac{1}{c^2} \frac{\partial^2 \mathbf{A}}{\partial t^2} = -\mu_0 \mathbf{J}, \quad (25)$$

que são equações de onda com fontes. É possível mostrar que se as fontes são localizadas em uma região do espaço \mathcal{R} e os potenciais tendem a zero no infinito de modo suficientemente rápido, as soluções são dadas por:

$$V(\mathbf{x}, t) = \frac{1}{4\pi\epsilon_0} \int_{\mathcal{R}} \frac{\rho(\mathbf{x}', t') d^3x'}{\|\mathbf{x} - \mathbf{x}'\|}, \quad (26)$$

e,

$$\mathbf{A}(\mathbf{x}, t) = \frac{\mu_0}{4\pi} \int_{\mathcal{R}} \frac{\mathbf{J}(\mathbf{x}', t') d^3x'}{\|\mathbf{x} - \mathbf{x}'\|}, \quad (27)$$

onde:

$$t' = t - \frac{\|\mathbf{x} - \mathbf{x}'\|}{c}, \quad (28)$$

é o *tempo retardado*. Em princípio, dados ρ e \mathbf{J} , podemos calcular V e \mathbf{A} , e a partir dos potenciais, calcular \mathbf{E} e \mathbf{B} . O problema inverso é: dados \mathbf{E} e \mathbf{B} determinar ρ e \mathbf{J} .

2 O potencial vetorial para o dipolo elétrico

O potencial vetorial se escreve:

$$\mathbf{A}(\mathbf{x}, t) = \hat{\mathbf{z}} \frac{\mu_0}{4\pi} \int_{-D/2}^{D/2} \frac{I(t') dz'}{\|\mathbf{x}' - z' \hat{\mathbf{z}}\|}, \quad (29)$$

onde fizemos $\mathbf{x}' = z' \hat{\mathbf{z}}$. Agora,

$$\|\mathbf{x} - z' \hat{\mathbf{z}}\| = r \left(1 + \frac{z'^2}{r^2} - 2 \frac{z'}{r} \cos \theta \right)^{1/2}. \quad (30)$$

Fazendo uso da expansão em Taylor de $(1 + u)^p$, ao redor de $u = 0$, temos

$$(1 + u)^p = 1 + pu + \frac{p(p-1)}{2!} u^2 + \dots, \quad (31)$$

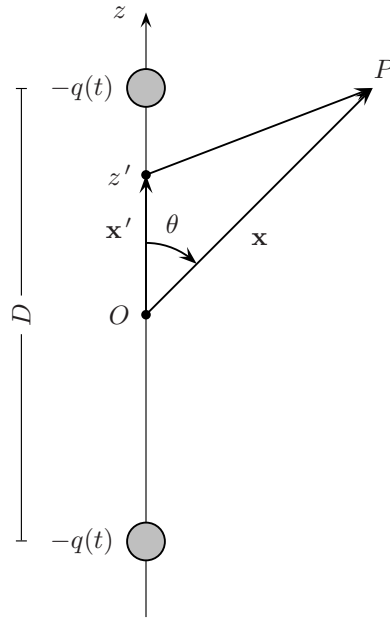


Figura 1: Modelo simplificado de um dipolo elétrico.

No nosso caso, mantendo apenas os termos de ordem zero

$$\frac{1}{\|\mathbf{x} - z'\hat{\mathbf{z}}\|} = \frac{1}{r} \left(1 - 2 \frac{z'}{r} \cos \theta \right)^{-1/2} \approx \frac{1}{r}. \quad (32)$$

Portanto,

$$\mathbf{A}(\mathbf{x}, t) \approx \frac{\mu_0}{4\pi r} \hat{\mathbf{z}} \int_{-D/2}^{D/2} I(t - r/c) dz', \quad (33)$$

ou ainda

$$\mathbf{A}(\mathbf{x}, t) \approx \frac{\mu_0 D}{4\pi r} I(t - r/c) \hat{\mathbf{z}}. \quad (34)$$

A corrente $I(t)$, por definição, é dada por:

$$I(t) = \frac{dq}{dt} = \frac{d}{dt} q_0 \cos(\omega t) = -q_0 \omega \sin(\omega t). \quad (35)$$

Portanto,

$$\mathbf{A}(\mathbf{x}, t) \approx -\frac{\mu_0 D q_0 \omega}{4\pi r} \text{sen} [\omega (t - r/c)] \hat{\mathbf{z}}, \quad r \gg D. \quad (36)$$

O momento de dipolo instantâneo é dado por

$$\mathbf{p}(t) := q(t)D \hat{\mathbf{z}} = q_0 D \cos(\omega t) \hat{\mathbf{z}}. \quad (37)$$

Derivando o momento de dipolo em relação ao tempo,

$$\frac{d\mathbf{p}(t)}{dt} = -q_0 \omega D \text{sen}(\omega t) \hat{\mathbf{z}}. \quad (38)$$

Vemos então que é possível escrever para o potencial vetor retardado a expressão

$$\mathbf{A}(\mathbf{x}, t) = \frac{\mu_0}{4\pi r} \frac{d\mathbf{p}(t - r/c)}{dt} = \frac{1}{4\pi\epsilon_0 c^2 r} \frac{d\mathbf{p}(t - r/c)}{dt}. \quad (39)$$

3 O potencial escalar do dipolo elétrico

Para calcular o potencial escalar V , podemos usar a expressão dada pela Eq. (26), se soubermos como escrever $\rho(\mathbf{x}, t)$, ou, já que sabemos $\mathbf{A}(\mathbf{x}, t)$, a condição de Lorenz, Eq. (13). Esta última é a alternativa mais simples.

Observe que \mathbf{A} só tem componentes na direção Oz ,

$$A(\mathbf{x}, t) = A_z(r, t) \hat{\mathbf{z}}, \quad (40)$$

onde

$$A_z(r, t) = -\frac{\mu_0 q_0 \omega D}{4\pi r} \text{sen} [\omega (t - r/c)] = \frac{1}{4\pi\epsilon_0 c^2} \frac{\dot{p}(t - r/c)}{r}, \quad (41)$$

onde $r = (x^2 + y^2 + z^2)^{1/2}$. Agora,

$$\nabla \cdot \mathbf{A} = \frac{\partial A_z(r, t)}{\partial z} = \frac{1}{4\pi\epsilon_0 c^2} \left[\dot{p}(t - r/c) \frac{\partial}{\partial z} \left(\frac{1}{r} \right) + \frac{1}{r} \frac{\partial}{\partial z} \dot{p}(t - r/c) \right]. \quad (42)$$

Mas,

$$\frac{\partial}{\partial z} \left(\frac{1}{r} \right) = \frac{\partial}{\partial z} (x^2 + y^2 + z^2)^{-1/2} = -\frac{z}{r^3}, \quad (43)$$

O segundo termo pode ser calculado mais facilmente se fizermos a transformação de variáveis $u = t - r/c$. Então,

$$\frac{\partial}{\partial z} \dot{p}(t - r/c) = \frac{\partial}{\partial z} \dot{p}(u) = \frac{\partial \dot{p}(u)}{\partial u} \frac{\partial u}{\partial z}. \quad (44)$$

Como

$$\frac{\partial \dot{p}(u)}{\partial u} = \frac{\partial \dot{p}(u)}{\partial t} \frac{\partial t}{\partial u} = \ddot{p}(u), \quad (45)$$

e

$$\frac{\partial u}{\partial z} = \frac{\partial}{\partial z} \left[t - \frac{(x^2 + y^2 + z^2)^{1/2}}{c} \right] = -\frac{1}{c} \frac{\partial}{\partial z} (x^2 + y^2 + z^2)^{1/2} = -\frac{z}{cr}, \quad (46)$$

obtemos

$$\frac{\partial}{\partial z} \dot{p}(t - r/c) = -\frac{z}{cr} \ddot{p}(t - r/c). \quad (47)$$

Portanto,

$$\nabla \cdot \mathbf{A} = -\frac{1}{4\pi\epsilon_0} \left[\frac{z}{r} \dot{p}(t - r/c) + \frac{z}{cr^2} \ddot{p}(t - r/c) \right]. \quad (48)$$

Com a condição de Lorentz obtemos

$$\frac{\partial V}{\partial t} = \frac{1}{4\pi\epsilon_0} \left[\frac{z}{r} \dot{p}(t - r/c) + \frac{z}{cr^2} \ddot{p}(t - r/c) \right]. \quad (49)$$

Integrando no tempo e lembrando que $z = r \cos \theta$,

$$V(r, \theta, t) = \frac{\cos \theta}{4\pi\epsilon_0 r^2} \left[\frac{1}{r} p(t - r/c) + \frac{r}{c} \dot{p}(t - r/c) \right], \quad (50)$$

a menos de uma função de r e θ que escolheremos como identicamente nula na região de interesse. As equações (50) e (39) são os resultados que buscávamos.

Exercício 1 Obtenha as equações (49) e (50). ■

4 Os campos E e B de um dipolo elétrico oscilante

Agora que sabemos as expressões para o potencial vetor e para o potencial escalar associados com um dipolo elétrico, equações (50) e (39), podemos calcular os campos elétrico e indução magnética correspondentes.

4.1 O campo indução magnética do dipolo

Convém que comecemos pelo cálculo do campo indução magnética \mathbf{B} . Fazendo uso da identidade vetorial

$$\nabla \times (f\mathbf{a}) = \nabla f \times \mathbf{a} + f \nabla \times \mathbf{a},$$

onde f é uma função escalar e \mathbf{a} é um campo vetorial. No nosso caso,

$$f = \frac{1}{4\pi\epsilon_0 c^2} \frac{\dot{p}(t - r/c)}{r}, \quad \mathbf{a} = \hat{\mathbf{z}},$$

Como $\nabla \times \hat{\mathbf{z}} = 0$, temos, usando a identidade vetorial acima,

$$\mathbf{B} = \nabla \times \mathbf{A} = \frac{1}{4\pi\epsilon_0 c^2} \nabla \left[\frac{\dot{p}(t - r/c)}{r} \right] \times \hat{\mathbf{z}}. \quad (51)$$

Como $\dot{p}(t - r/c)$ é uma função somente de r (e $t!$), podemos escrever

$$\nabla \left[\frac{\dot{p}(t - r/c)}{r} \right] = \frac{\partial}{\partial r} \left[\frac{\dot{p}(t - r/c)}{r} \right] \hat{\mathbf{e}}_r, \quad (52)$$

onde

$$\hat{\mathbf{e}}_r = \frac{\mathbf{x}}{\|\mathbf{x}\|} = \frac{\mathbf{x}}{r}. \quad (53)$$

Portanto,

$$\mathbf{B}(\mathbf{x}, t) = \frac{1}{4\pi\epsilon_0 c^2} \frac{\partial}{\partial r} \left[\frac{\dot{p}(t - r/c)}{r} \right] \hat{\mathbf{e}}_r \times \hat{\mathbf{z}}. \quad (54)$$

Como antes, faremos a transformação de variável $u = t - r/c$. Então:

$$\frac{\partial}{\partial r} \left[\frac{\dot{p}(t - r/c)}{r} \right] = \frac{\partial}{\partial r} \left[\frac{\dot{p}(u)}{r} \right] = -\frac{1}{r^2} \dot{p}(u) + \frac{1}{r} \frac{\partial \dot{p}(u)}{\partial u} \frac{\partial u}{\partial r}, \quad (55)$$

ou, lembrando que

$$\frac{\partial \dot{p}(u)}{\partial u} = \frac{\partial \dot{p}(u)}{\partial t}, \quad \frac{\partial u}{\partial r} = -\frac{1}{c},$$

temos

$$\mathbf{B}(\mathbf{x}, t) = \nabla \times \mathbf{A} = \frac{1}{4\pi\epsilon_0 c^2} \left[-\frac{\dot{p}(t - r/c)}{r^2} - \frac{\ddot{p}(t - r/c)}{rc} \right] \hat{\mathbf{e}}_r \times \hat{\mathbf{z}}, \quad (56)$$

ou, como $\mathbf{p}(t - r/c) = p(t - r/c) \hat{\mathbf{z}}$, temos depois de trocar a ordem do produto vetorial

$$\mathbf{B}(\mathbf{x}, t) = \frac{1}{4\pi\epsilon_0 c^2} \left[\frac{1}{r^2} \frac{d\mathbf{p}(t - r/c)}{dt} + \frac{1}{rc} \frac{d^2\mathbf{p}(t - r/c)}{dt^2} \right] \times \hat{\mathbf{e}}_r, \quad (57)$$

que é o resultado que queríamos obter.

4.2 O campo elétrico do dipolo

O campo elétrico do dipolo requer que calculemos a derivada temporal de \mathbf{A} e o gradiente de V . Começemos pelo primeiro que é imediato:

$$\frac{\partial \mathbf{A}}{\partial t} = \frac{1}{4\pi\epsilon_0 c^2 r} \ddot{\mathbf{p}}(t - r/c). \quad (58)$$

O gradiente do potencial escalar requer o cálculo de

$$\nabla V(r, \theta, t) = \frac{\partial V(r, \theta, t)}{\partial r} \hat{\mathbf{e}}_r + \frac{1}{r} \frac{\partial V(r, \theta, t)}{\partial \theta} \hat{\mathbf{e}}_\theta. \quad (59)$$

Derivando a Eq. (50) em relação a θ , temos

$$\frac{\partial V(r, \theta, t)}{\partial r} = -\frac{\text{sen } \theta}{4\pi\epsilon_0 r^2} \left[\frac{1}{r} p(t - r/c) + \frac{r}{c} \dot{p}(t - r/c) \right]. \quad (60)$$

A derivada em relação a r é um pouco mais difícil de calcular, mas podemos usar o truque que utilizamos anteriormente: definimos a variável $u = r - r/c$. Segue como antes que

$$\frac{\partial p(u)}{\partial u} = \frac{\partial p(u)}{\partial t} \equiv \dot{p}(u),$$

e

$$\frac{\partial u}{\partial r} = -\frac{1}{c},$$

obtemos o resultado procurado

$$\begin{aligned} \mathbf{E}(r, \theta, t) &= -\frac{1}{4\pi\epsilon_0 c^2 r} \ddot{\mathbf{p}}(t - r/c) + \frac{\cos \theta}{4\pi\epsilon_0 r^3} \left[2p(u) + 2\frac{r}{c} \dot{p}(u) + \frac{r^2}{c^2} \right] \hat{\mathbf{e}}_r \\ &+ \frac{\text{sen } \theta}{4\pi\epsilon_0 r^3} \left[p(u) + \frac{r}{c} \dot{p}(u) \right] \hat{\mathbf{e}}_\theta. \end{aligned} \quad (61)$$

Exercício 2 Obtenha o campo elétrico do dipolo elétrico. ■

O campo elétrico do dipolo pode ser dividido em três contribuições distintas, a saber:

Zona próxima Os termos que dependem de $p(u)$, e que variam com $1/r^3$, nos dão o campo elétrico de um dipolo elétrico simples (veja o Apêndice), mas dependente do tempo. Este é o termo que nos dá o campo da **zona próxima** ao dipolo:

$$\mathbf{E}_{z.p.}(r, \theta, t) = \frac{p(u)}{4\pi\epsilon_0 r^3} (2 \cos \theta \hat{\mathbf{e}}_r + \text{sen } \theta \hat{\mathbf{e}}_\theta). \quad (62)$$

Este é o termo dominante no limite $r \rightarrow 0$.

Zona intermediária Os termos que dependem de $\dot{p}(u)$, e que variam com $1/r^2$, nos dão o campo elétrico na **zona intermediária**:

$$\mathbf{E}_{z.i.}(r, \theta, t) = \frac{\dot{p}(u)}{4\pi\epsilon_0 r^2 c} (2 \cos \theta \hat{\mathbf{e}}_r + \sin \theta \hat{\mathbf{e}}_\theta). \quad (63)$$

Zona longínqua ou de radiação Por último, temos os termos mais importantes que dependem de $\ddot{p}(u)$ e variam com $1/r$ e são os termos dominantes quando $r \rightarrow \infty$. Estes termos se escrevem:

$$\mathbf{E}_{\text{rad.}}(r, \theta, t) = \frac{\cos \theta}{4\pi\epsilon_0 c^2 r} \ddot{p}(u) \hat{\mathbf{e}}_r - \frac{1}{4\pi\epsilon_0 c^2 r} \ddot{\mathbf{p}}(t - r/c). \quad (64)$$

Para completar o cálculo do campo elétrico de radiação do dipolo elétrico convém rescrever o último termo como uma combinação linear de $\hat{\mathbf{e}}_r$ e $\hat{\mathbf{e}}_\theta$. Lembrando que

$$= \cos \theta \hat{\mathbf{e}}_r - \sin \theta \hat{\mathbf{e}}_\theta,$$

podemos escrever,

$$\ddot{\mathbf{p}}(u) = \ddot{p}(u) (\cos \theta \hat{\mathbf{e}}_r - \sin \theta \hat{\mathbf{e}}_\theta).$$

Segue então que na zona de radiação

$$\mathbf{E}_{\text{rad.}}(r, \theta, t) = \frac{\ddot{p}(t - r/c) \sin \theta}{4\pi\epsilon_0 r^2 c} \hat{\mathbf{e}}_\theta. \quad (65)$$

5 O vetor de Poynting e a potência instantânea

Estamos quase prontos para calcular o vetor de Poynting e a potência instantânea na zona de radiação, mas antes precisamos rescrever o campo indução magnética em uma forma mais conveniente. Na zona de radiação, o termo relevante do campo indução magnética, Eq. (57) se escreve

$$\mathbf{B}_{\text{rad.}}(\mathbf{x}, t) = \frac{1}{4\pi\epsilon_0 c^2} \frac{1}{rc} \ddot{\mathbf{p}}(t - r/c) \times \hat{\mathbf{e}}_r. \quad (66)$$

Como o dipolo está orientado ao longo do eixo Oz , temos

$$\ddot{\mathbf{p}}(t - r/c) = \ddot{p}(t - r/c) \hat{\mathbf{z}} = \ddot{p}(t - r/c) (\cos \theta \hat{\mathbf{e}}_r - \sin \theta \hat{\mathbf{e}}_\theta), \quad (67)$$

Segue que

$$\ddot{\mathbf{p}}(t - r/c) \times \hat{\mathbf{e}}_r = -\ddot{p}(t - r/c) \sin \theta \hat{\mathbf{e}}_\theta \times \hat{\mathbf{e}}_r = \ddot{p}(t - r/c) \sin \theta \hat{\mathbf{e}}_\phi. \quad (68)$$

Portanto, o campo indução magnética na zona de radiação pode ser posto na forma

$$\mathbf{B}_{\text{rad}}(r, \theta, t) = \frac{1}{4\pi\epsilon_0 c^2} \frac{\text{sen } \theta}{rc} \ddot{\mathbf{p}}(t - r/c) \times \hat{\mathbf{e}}_\phi. \quad (69)$$

Como os campos na zona de radiação são transversos um ao outro, isto é

$$\mathbf{B}_{\text{rad}}(r, \theta, t) = \frac{1}{c} \hat{\mathbf{e}}_r \times \mathbf{E}_{\text{rad}}(r, \theta, t), \quad (70)$$

como podemos provar facilmente, o vetor de Poynting na zona de radiação se escreve,

$$\mathbf{S}_{\text{rad}}(r, \theta, t) = \frac{1}{\mu_0} \mathbf{E}_{\text{rad}}(r, \theta, t) \times \mathbf{B}_{\text{rad}}(r, \theta, t) = \frac{1}{\mu_0 c} \mathbf{E}_{\text{rad}}(r, \theta, t) \times [\hat{\mathbf{e}}_r \times \mathbf{E}_{\text{rad}}(r, \theta, t)]. \quad (71)$$

Fazendo uso da identidade vetorial

$$\mathbf{a}(\mathbf{b} \times \mathbf{c}) = \mathbf{b}(\mathbf{a} \cdot \mathbf{c}) - \mathbf{c}(\mathbf{a} \cdot \mathbf{b}),$$

obtemos para o **o vetor de Poynting instantâneo**, a expressão

$$\mathbf{S}_{\text{rad}}(r, \theta, t) = \frac{1}{\mu_0 c} \mathbf{E}_{\text{rad}}^2 \hat{\mathbf{e}}_r = \frac{\text{sen}^2 \theta}{16\pi^2 \epsilon_0^2 c^3 r^2} \ddot{\mathbf{p}}^2(t - r/c) \hat{\mathbf{e}}_r. \quad (72)$$

Portanto, o fluxo instantâneo de energia por unidade de tempo, medida em W/m^2 , é radial, embora no seja esféricamente simétrico.

Exercício 3 Mostre que na zona de radiação os campos elétrico e indução magnética são transversos, isto é, os dois têm uma relação entre si similar ao que acontece em uma onda plana. ■

Exercício 4 Obtenha as Eqs. 69 e 72 ■

Vejamos como se calcula a **potência instantânea**. Considere uma esfera de raio R muito maior do que a dimensão linear do dipolo, veja a Figura 2. A potência instantânea é a integral sobre a área dessa esfera, isto é:

$$P(t) = \int_{\Omega} \mathbf{S}_{\text{rad}}(R, \theta, t) \cdot \hat{\mathbf{n}} R^2 d\Omega = \frac{\ddot{\mathbf{p}}^2(t - R/c)}{16\pi^2 \epsilon_0^2 c^3} \int_{\Omega} \text{sen}^2 \theta d\Omega, \quad (73)$$

onde $d\Omega = \text{sen } \theta d\theta d\phi$. Procedendo como anteriormente obtemos

$$P(t) = \frac{2}{3} \frac{\ddot{\mathbf{p}}^2(t - R/c)}{4\pi\epsilon_0 c^3}, \quad (74)$$

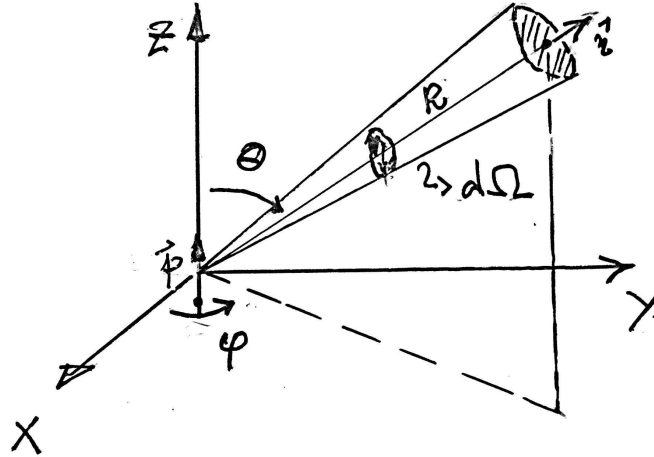


Figura 2: Geometria do cálculo da radiação de um dipolo elétrico ideal.

que é a **fórmula** ou **teorema de Larmor**.

Exercício 5 Obtenha a Eq. (74). É este resultado que impede a existência de um átomo clássico compatível com a teoria eletromagnética clássica. ■

6 A potência média

Finalmente, a **potência média emitida por unidade de ângulo sólido** é dada por:

$$\frac{d\langle P \rangle}{d\Omega} = \frac{\langle \dot{\mathbf{p}}^2(t - R/c) \rangle}{16 \pi^2 \epsilon_0 c^3} \sin^2 \theta. \quad (75)$$

O ângulo θ é o ângulo entre o momento de dipolo $\mathbf{p}(t)$ e o vetor posição do ponto de observação \mathbf{x} . É mais conveniente expressar θ pelo ângulo que o vetor posição do ponto de observação faz com a direção de propagação da onda incidente. Denotemos este ângulo por ϑ . É possível mostrar que então que

$$\sin^2 \theta = \frac{1 + \cos^2 \vartheta}{2}. \quad (76)$$

Portanto, podemos escrever também:

$$\frac{d\langle P \rangle}{d\Omega} = \frac{\langle \ddot{\mathbf{p}}^2(t - R/c) \rangle}{16 \pi^2 \epsilon_0 c^3} \left(\frac{1 + \cos^2 \vartheta}{2} \right). \quad (77)$$

A potência média integrada sobre uma esfera de raio R centrada no dipolo é dada por:

$$\langle P \rangle = \int_{\Omega} \frac{d\langle P \rangle}{d\Omega} d\Omega = \frac{\langle \ddot{\mathbf{p}}^2(t - R/c) \rangle}{16 \pi^2 \epsilon_0 c^3} \int_0^{2\pi} d\phi \int_0^{\pi} \sin^2 \theta \sin \theta d\theta. \quad (78)$$

A integral em ϕ é imediata. Fazendo a mudança de variável $u = \cos \theta$, obtemos para a integral em θ , o fator $4/3$. Portanto, a potência média total é

$$\langle P \rangle = \frac{4}{3} \frac{\langle \ddot{\mathbf{p}}^2(t - R/c) \rangle}{8 \pi \epsilon_0 c^3}, \quad (79)$$

ou ainda,

$$\langle P \rangle = \frac{2}{3} \frac{\langle \ddot{\mathbf{p}}^2(t - R/c) \rangle}{4 \pi \epsilon_0 c^3}. \quad (80)$$

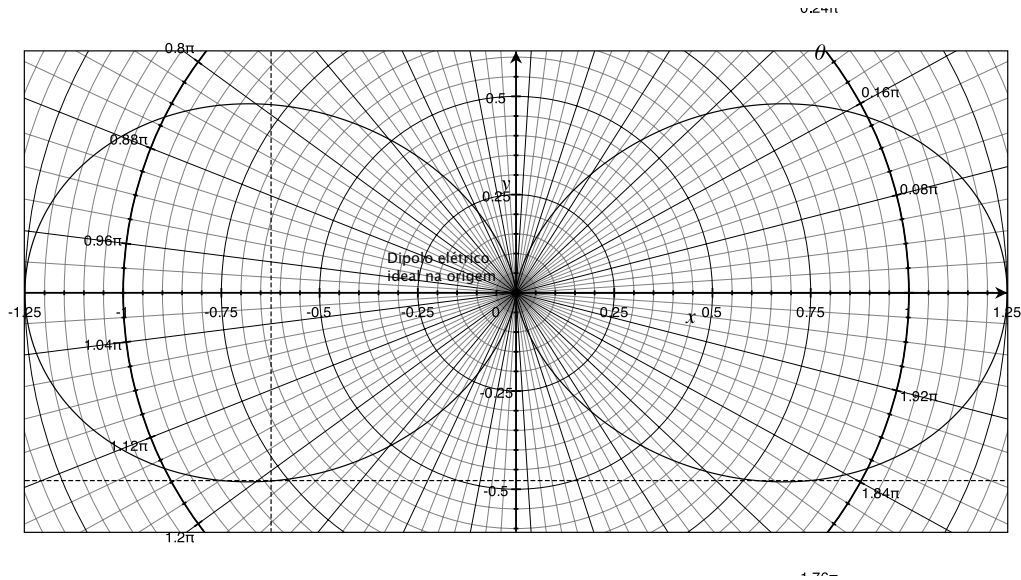


Figura 3: Distribuição angular da radiação de um dipolo elétrico ideal.

Clicando no enlace (*link*): [Radiação de dipolo elétrico](#), o leitor terá acesso a uma simulação do campo de radiação do dipolo e do padrão de distribuição da energia radiada¹.

¹ A simulação foi criada pelo Prof. C. E. M. Aguiar.

7 Aplicação ao espalhamento Rayleigh

Nesta seção veremos algumas aplicações da Eq. (75), em particular, ao espalhamento Rayleigh. Ao final espera-se com o leitor consiga entender a coloração azul do céu, **Problema 3** e Figura 8.

7.1 Seções de choque diferencial e total

Convém introduzir a seção de choque diferencial por meio da definição:

$$\frac{d\langle P \rangle}{d\Omega} = \langle \text{fluxo incidente} \rangle \frac{d\sigma}{d\Omega},$$

onde o fluxo incidente é dado pelo valor médio temporal da projeção do vetor de Poynting sobre a direção de incidência do feixe, isto é:

$$\langle \text{fluxo incidente} \rangle = \langle \mathbf{S}_{\text{incidente}} \rangle \cdot \hat{\mathbf{n}}.$$

Portanto, a seção de choque diferencial se escreve:

$$\frac{d\sigma}{d\Omega} = \frac{1}{\langle \mathbf{S}_{\text{incidente}} \rangle \cdot \hat{\mathbf{n}}} \frac{d\langle P \rangle}{d\Omega}. \quad (81)$$

A seção de choque total se escreve:

$$\sigma = \int_{\Omega} \frac{d\sigma}{d\Omega} d\Omega, \quad (82)$$

7.2 A seção de choque de Thomson para o elétron livre

O campo elétrico de uma onda eletromagnética plana polarizada na direção Oz , em notação complexa, se escreve

$$\mathbf{E}(y, t) = E_0 e^{i(ky - \omega t)} \hat{\mathbf{z}}, \quad (83)$$

onde E_0 é uma amplitude complexa dada por

$$E_0 = |E_0| e^{i\delta}. \quad (84)$$

Se a onda incide sobre um elétron inicialmente livre e na origem, $x = y = z = 0$, este oscilará ao longo do eixo Ox e passará a ser governado pela equação de movimento

$$\ddot{z} = -\frac{e}{m} E_0 e^{-i\omega t}, \quad (85)$$

onde e é a carga do elétron em módulo e m é a sua massa. O elétron comporta-se como um dipolo elétrico oscilante. Queremos calcular a seção de choque diferencial. Eq. (81), para o espalhamento da onda plana incidente pelo elétron. Como vimos anteriormente,

$$\frac{d\langle P \rangle}{d\Omega} = \frac{\langle \ddot{p}^2(t - R/c) \rangle}{16\pi^2 \epsilon_0 c^3} \sin^2 \theta.$$

No caso, $\mathbf{p}(t) = -ez(t)\hat{\mathbf{z}}$. Portanto,

$$\ddot{\mathbf{p}}^2(t) \equiv \frac{d^2\mathbf{p}(t)}{dt^2} \cdot \frac{d^2\mathbf{p}(t)}{dt^2} = e^2\ddot{z}^2(t).$$

Portanto,

$$\frac{d\langle P \rangle}{d\Omega} = \frac{e^2 \langle \ddot{z}^2(t - R/c) \rangle}{16\pi^2\epsilon_0 c^3} \sin^2\theta. \quad (86)$$

Mas, podemos fazer uso do resultado

$$\langle a(t)b(t) \rangle = \frac{1}{2} a(t)b^*(t), \quad (87)$$

onde $a(t)$ e $b(t)$ são complexos que dependem de t . Este resultado permite calcular facilmente o valor médio no tempo que precisamos. De fato,

$$\langle z^2(t) \rangle = \langle z(t)z(t) \rangle = \frac{1}{2} z(t)z^*(t) = \frac{1}{2} \left(\frac{e|E_0|}{m} \right)^2. \quad (88)$$

Portanto,

$$\frac{d\langle P \rangle}{d\Omega} = \frac{1}{2} \frac{e^2}{16\pi^2\epsilon_0 c^3} \left(\frac{e|E_0|}{m} \right)^2 \sin^2\theta. \quad (89)$$

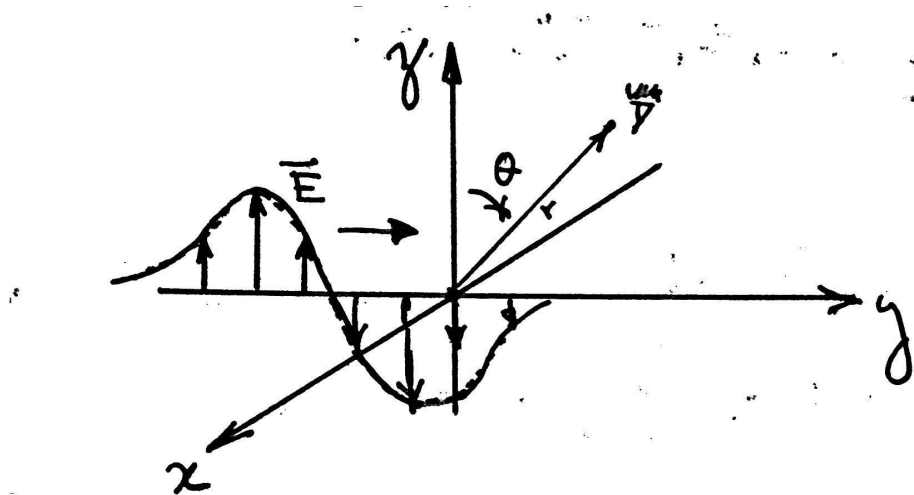


Figura 4: Onda eletromagnética plana incidindo sobre um elétron inicialmente em repouso na origem.

O **raio clássico do elétron**, ou **raio de Lorentz**, ou ainda comprimento de espalhamento de Thomson é definido por

$$mc^2 = \frac{e^2}{4\pi\epsilon_0 r_e}, \quad (90)$$

onde se ignora fatores numéricos que dependem do modelo de distribuição da carga, 3/5 se o elétron for considerado como uma esfera carregada, ou 1/2, se for considerado como uma casca esférica carregada. Segue que

$$r_e = \frac{e^2}{4\pi\epsilon_0 mc^2}. \quad (91)$$

Assim, podemos escrever

$$\frac{d\langle P \rangle}{d\Omega} = \frac{\epsilon_0 c |E_0|^2}{2} \left(\frac{e^2}{4\pi\epsilon_0 mc^2} \right)^2 \text{sen}^2 \theta = \frac{\epsilon_0 c |E_0|^2}{2} r_e^2 \text{sen}^2 \theta. \quad (92)$$

Para completar o cálculo da seção de choque diferencial, precisamos calcular o fluxo de energia associado com a onda plana incidente. Para uma onda plana que incide sobre o elétron vinda de $y \rightarrow -\infty$,

$$\mathbf{S} = \frac{1}{\mu_0} \mathbf{E} \times \mathbf{B}^* = \frac{1}{\mu_0 c} \mathbf{E} \times \hat{\mathbf{y}} \times \mathbf{E}^* = \epsilon_0 c \mathbf{E} \cdot \mathbf{E}^* \hat{\mathbf{y}}. \quad (93)$$

Portanto, o valor médio no tempo do vetor de Poynting se escreve

$$\langle \mathbf{S} \rangle = \epsilon_0 c \langle \mathbf{E} \cdot \mathbf{E}^* \rangle. \quad (94)$$

Mas,

$$\langle \mathbf{E} \cdot \mathbf{E}^* \rangle = \frac{1}{2} \Re(\mathbf{E} \cdot \mathbf{E}^*) = \frac{1}{2} |E_0|^2. \quad (95)$$

O fluxo incidente é dado por

$$\langle \mathbf{S} \rangle \cdot \hat{\mathbf{y}} = \frac{1}{2} |E_0|^2. \quad (96)$$

Substituindo os as expressões para a potência diferencial média e para o fluxo incidente na expressão para a seção de choque, Eq. (81), obtemos, finalmente,

$$\frac{d\sigma}{d\Omega} = r_e^2 \text{sen}^2 \theta. \quad (97)$$

Lembrando que $d\Omega = \text{sen} \theta d\theta d\phi$, e integrando está equação, obtemos a **seção de choque de Thomson**

$$\sigma = \frac{8\pi}{3} r_e^2. \quad (98)$$

Observe que se a onda plana incidente for harmônica, a seção de choque de Thomson não dependerá da sua frequência.

Exercício 6 Obtenha a seção de choque de Thomson. ■

7.3 A seção de choque de Thomson para o elétron ligado

Quando o elétron é ligado a um átomo ou molécula o modelo deve ser mudado. A equação de movimento do elétron agora se lê

$$m\ddot{z} + m\Gamma\dot{z} + m\omega_0^2 z = -eE_0 e^{-i\omega t}. \quad (99)$$

A aceleração se escreve (a solução para o estado estacionário é dada por²:

$$\ddot{z}(t) = -\frac{e}{m} \frac{\omega^2 E_0 e^{-i\omega t}}{\omega^2 - \omega_0^2 + i\Gamma\omega}. \quad (100)$$

A seção de choque de Thomson para a interação entre um elétron ligado e uma onda plana incidente agora se escreve

$$\sigma(\omega) = F(\omega) \frac{8\pi}{3} r_e^2, \quad (101)$$

onde

$$F(\omega) = \left| \frac{\omega^2}{\omega^2 - \omega_0^2 + i\Gamma\omega} \right|^2 = \frac{\omega^4}{(\omega^2 - \omega_0^2)^2 + \Gamma^2 \omega^2}. \quad (102)$$

Exercício 7 Obtenha a seção de choque de Thomson modificada. ■

²Veja a referência [3]

Problemas

Problema 1 *A estabilidade de um átomo hidrogenóide do ponto de vista do eletromagnetismo clássico* Considere o modelo clássico de um átomo hidrogenóide. Neste modelo, o núcleo tem uma carga positiva $+Ze$, onde Z é o número de prótons, e $e = 1,6 \times 10^{-19}$ C é o *quantum* elementar de carga, em torno do qual um elétron de carga $-e$ e massa m descreve uma órbita que por simplicidade suporemos como um círculo de raio R , pois o núcleo que tem uma massa $1836 \times Z$ vezes maior do que a massa do elétron pode ser considerado fixo. Apesar da sua simplicidade este modelo servirá para mostrar que do ponto de vista do eletromagnetismo clássico, o átomo não é estável, pois como você verá, este comporta-se como um dipolo elétrico que depende do tempo ao qual se pode aplicar as fórmulas para radiação de dipolo que são deduzidas nestas notas de aula.

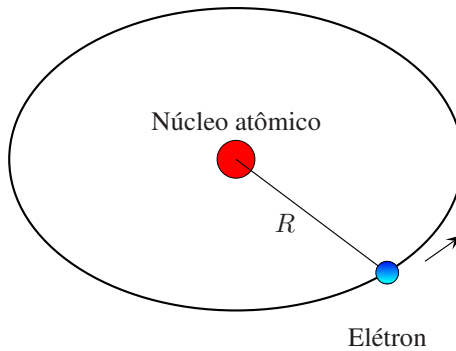


Figura 5: Modelo clássico de um átomo com um único elétron.

- (a) Despreze o efeito do retardamento e calcule o momento de dipolo elétrico do átomo e a seguir a potência instantânea $P(t)$ emitida por este dipolo atômico. Suponha que são necessárias muitas voltas em torno do núcleo para que a órbita diminua de raio de modo significativo. Você deve obter:

$$P(t) = \frac{2}{3} \frac{e^2 a^2}{4\pi\epsilon_0 c^3},$$

onde a é a magnitude da aceleração centrípeta instantânea do elétron,

- (b) Escreva a energia instantânea do átomo como:

$$E(t) \approx \frac{1}{2} m v(t)^2 - \frac{Z e^2}{4\pi\epsilon_0 r(t)},$$

e use a lei da conservação da energia total para obter a equação diferencial que governa a variação instantânea do raio da órbita:

$$\frac{dr}{dt} = -\frac{4}{3} \frac{Z^2 e^4}{(4\pi\epsilon_0)^2 c^3 m^2 r^2}$$

- (c) Integre a equação diferencial acima e mostre que o tempo de vida do átomo é dado por:

$$\tau = \frac{1}{4} \frac{(4\pi\epsilon_0)^2 c^3 m^2 a_0^2}{Z^2 e^4},$$

onde a_0 , é o raio inicial do átomo, o raio de Bohr.

- (d) Calcule o tempo de vida do átomo de hidrogênio. Procure em uma tabela os valores das constantes que você precisa.

Problema 2 *A antena de meia-onda* Considere dois segmentos retos de fio conectados a um gerador de alta frequência que fornece uma corrente alternada, veja a Figura 6. As cargas oscilantes emitirão ondas eletromagnéticas na frequência de rádio. O comprimento da antena vale meio comprimento da onda de rádio, e a

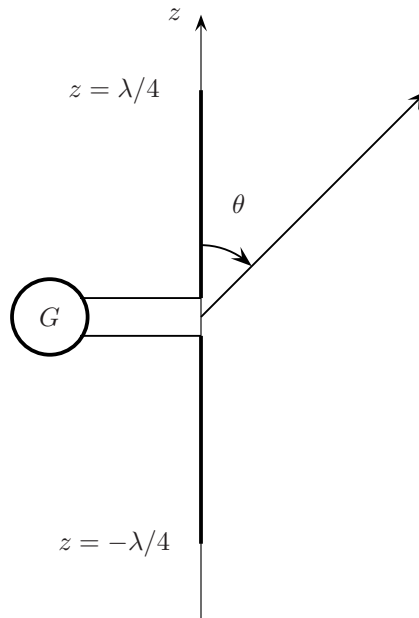


Figura 6: Geometria da antena de meia onda.

corrente ao longo da antena tem a forma de uma onda estacionária:

$$I(t) = I_0 \cos \frac{2\pi z}{\lambda} \cos \omega t.$$

- (a) Mostre que o vetor potencial é dado por:

$$A_z = \frac{\mu_0}{4\pi} \frac{2I_0}{r\omega} \cos \left[\omega \left(t - \frac{r}{c} \right) \right] \frac{\cos(1/2 \pi \cos \theta)}{\text{sen}^2 \theta}.$$

As demais componentes são nulas. Você precisará da relação:

$$\cos \alpha \cos \beta = \frac{1}{2} \cos (\alpha + \beta) + \frac{1}{2} \cos (\alpha - \beta),$$

e lembrar que $\lambda = 2\pi c/\omega$.

(b) Mostre que o campo magnético associado se escreve:

$$\mathbf{B} \sim \frac{2I_0}{3} \text{sen} \left[\omega \left(t - \frac{r}{c} \right) \right] \frac{\cos (1/2 \pi \cos \theta)}{\text{sen} \theta} \hat{\mathbf{e}}_r \times \hat{\mathbf{z}} \quad (103)$$

(c) Use o fato de que o campo magnético e o campo elétrico são perpendiculares entre si na zona de radiação e calcule o vetor de Poynting instantâneo. Observe que não é necessário calcular o campo elétrico!

(d) Calcule a média temporal $\langle S \rangle$ da magnitude do vetor de Poynting.

(e) Calcule a potência média emitida por unidade de ângulo sólido:

$$\frac{d \langle P \rangle}{d \Omega} = \langle S \rangle r^2.$$

(f) Calcule a potência média emitida.

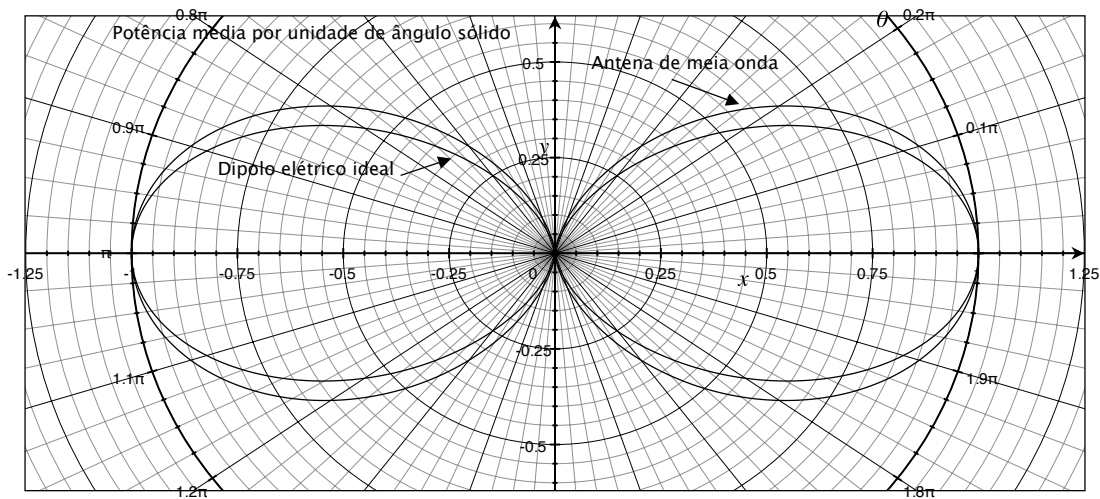


Figura 7: Distribuição angular da radiação de dipolo e de antena de meia onda.

Problema 3 *Espalhamento Rayleigh.* Por quê o céu é azul e o pôr do Sol vermelho? Mostre que um elétron ligado espalha 9.4 vezes mais a luz azul do que a luz vermelha. Agora explique o porquê do céu ser azul. **Sugestão:** Para

baixas frequências, isto é, para $\omega \ll \omega_0$, a seção de choque de Thomson modificada se escreve

$$\sigma(\omega) \approx \frac{\omega^4}{\omega_0^4} \frac{8\pi}{3} r_e^2.$$

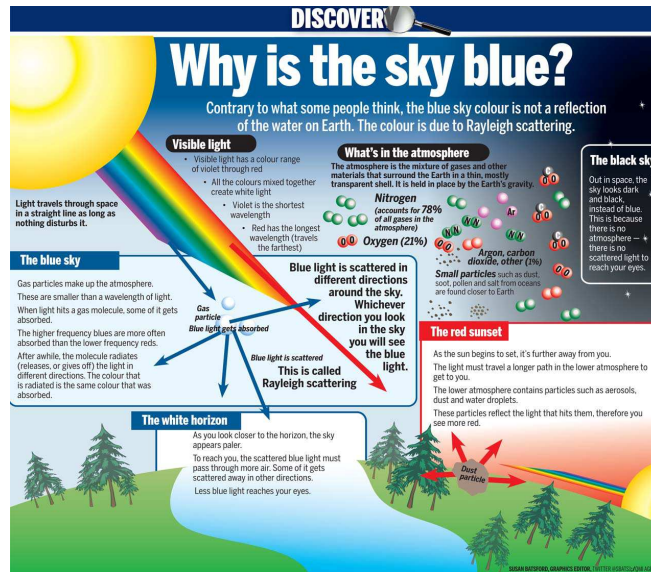


Figura 8: O espalhamento Rayleigh e a coloração do céu.

Referências

- [1] H. M. Nussenzveig *Curso de Física Básica* Vol. 3, Cap. 12. (São Paulo: Edgar Blücher).
- [2] R. P. Feynman, R. B. Leighton e M. Sands: *Lições de Física* Vol. II, Cap. 21, especialmente as seções 21-3 e 21-4. Porto Alegre: Bookman (2008).
- [3] A. C. Tort *Dinâmica newtoniana no plano complexo*. Notas de aula. Disponível em [Dinâmica newtoniana em notação complexa: oscilações e gravitação](#).